

桁橋の荷重分配について

京都大学工学部 正員 山田 善一
 京都大学工学部 正員 渡辺 英一
 阪神高速道路公団 正員 ○幸 和範

1. まえがき

桁橋は、鉄筋コンクリート床版と主桁に弾性的に支持された構造を有しており、床版の連續性を考えれば、荷重は床版を経て、多くの桁に伝達されると考えられる。したがって、このような型式の道路橋の設計においては、負荷される自動車荷重によって各桁に生じる曲げモーメントを十分正確に決定する必要があります。ここでは、桁橋にみられる板一梁系の解析に有効と考えられる板の剛性法を用いて、桁橋の挙動に影響を与えると考えられる種々のパラメータを変化させて数値計算し、得られた結果から、種々の型式の桁橋における設計式を与えます。

2. 解析手法

まず、板の剛性マトリックスを説明することから始めます。直交異方性板理論を Fig. 1 に示す。帶板要素に適用し、その基礎微分方程式の首次解を、Fig. 1 に示す境界条件の下で解き、得られた変位から断面力を求めれば、次の関係式を得る。

$$\{F\}^e = \sum_m \{F\}_m^e \sin \lambda_m x = \sum_m \{R\}_m^e \{S\}_m^e \sin \lambda_m x \quad (1)$$

ただし、 $\{F\}_m^e = \begin{pmatrix} M_x \\ Q_{xz} \\ Q_{yz} \end{pmatrix}$, $\{S\}_m^e = \begin{pmatrix} w \\ w_{xz} \\ w_{yz} \end{pmatrix}$, $\lambda_m = m\pi/l$

(1)式の m 項のみを取り出すと

$$\{F\}_m^e = [k]_m^e \{S\}_m^e \quad (2)$$

(2)式のように、任意の帶板要素の剛性マトリックスが得られる。また、荷重項は、Fig. 1 のように集中荷重が作用した時の解を用いて求めることができます。ここで、得られた要素に対する剛性マトリックスおよび荷重項を系全体について重ね合わせると、結局次式を得る。

$$[K]_m \{\delta\}_m = [L]_m \{P\}_m \quad \text{ただし, } \{P\}_m = [P_1, P_2, \dots, P_n]^T$$

次に、板を弾性支持している複合桁について考えます。ここでは、桁は合成桁、場合には橋軸方向の振りモーメントおよび橋軸直角方向の曲げモーメントのみを負担し、非合成桁の場合には、橋軸直角方向の曲げモーメントのみを負担すると仮定する。

i) 合成桁の場合

この場合、任意の節線上で力のつりあいに、曲げモーメントによる弾性荷重の項が加わる。いま、たとえを $w_i = \sum_m W_{im} \sin \lambda_m x$ と表わしているから、弾性荷重は、 $\delta_{dim} = EI_{bi} \lambda_m^4 w_{im}$ となり、結局全體の剛性マトリックスの W_{im} に対応する要素に $-EI_{bi} \lambda_m^4$ を加えればよい。

ii) 非合成桁の場合

この場合、i)でのべた弾性荷重による影響の他に、橋軸方向の振りモーメントによる曲

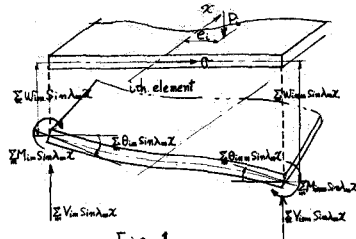


Fig. 1

ゲモーメントの項が加わる。この節線、梁に働く橋軸方向の曲げモーメントは、 $M_{im} = -GJ_x \lambda_m^2 \theta_{im}$ と表わしてみるから、全体の剛性マトリックスの θ_{im} に対応する要素は $-GJ_x \lambda_m^2$ を加之すればよい。

3. 数値計算

数値計算にあたって、主桁数、支間、橋員、振り剛性に関するパラメータ d ($= (D_{xy} + D_{xz}) / (D_{yy})$)、曲げ剛性に関するパラメータ β ($= \frac{1}{\pi} \sqrt{D_{yy}/D_{xy}}$)、自重車荷重の配置などの組合せを考へた。主桁数は 4 ~ 6、支間：30m, 40m、橋員：8", 10", 12", 14"、 d ：0.04, 0.16, 0.36, 0.64、 β ：0.25, 0.50, 0.75、荷重配置：中心載荷、偏心載荷などの場合を考へた。また、各桁が負担する荷重の割合は、各縦桁に負担される曲げモーメントを橋軸方向の同一断面でのすべての縦桁の平均曲げモーメントで割り得られるモーメント分配率で示した。また、計算結果は、Load fraction = W/D の D の値で整理した。 W は橋梁幅員である。

まず、採用した解析法の妥当性は、AASHO による 10 種の単純桁橋に対する実験結果との比較から確かめられた。それによると、最大セイメント分配率は、10 種のうち 5 種に対して安全側の値、すなはち正の誤差を得、それらの誤差は 2 種類の桁橋を除いてすべて 10% 以下であり、また危険側の値を示すものについて、誤差は 3% 以下であつた。

次に、種々のパラメータの組合せ（40 倍）の下での数値解析結果を Load fraction = W/D の D の値と d 、 β 、 W との関係で示したもの Fig. 2 であるが、これから、 d の増加に伴って荷重分配効果が良くなり、逆に β の増加に伴って荷重分配効果が悪くなること、また鋼道路橋設計示方書に示されている D の値は理論値よりかなり小さくなることがわかる。ここで、 $D - \beta$ 座標上で D の値は実用上直線上にならず、逆に D と近似して良いことから、新たに $C = \beta/D$ なるパラメータを導入し、 D と C 、 N_w （車輪荷重の数）の関数として表わすことを考える。Fig. 3 は、 $C - D$ 座標上に理論値をプロットしたもので、 $N_w = 4, N_w = 6$ は対応する値を示している。図から、 $C - D$ の関係を次のよう規定めることができる。

$$D = 1.6 + N_w/60 + (1 - N_w/10)(1 - C/3) \quad C \leq 3 \\ = 1.6 + N_w/60 \quad C > 3$$

この曲線は、 $\pm 10\%$ の範囲で理論値をすべて含み歩くことなく、ここで行は、計算側の範囲では十分な精度をもつと考えられる。

4. あとがき

用いた解析法は、連続桁橋の中間支点を有限個の点支点と考へることによつて容易に連続桁橋へ適用することができる。

参考文献：Cheung Y. K.: "The finite Strip Method in the Analysis of Elastic Plate with two opposite Simply Supported Ends" Proc. I.C.E., Vol. 48, May, 1968

W. W. Sanders, Jr and H.A. Ellaby : "Distribution of wheel load on highway bridges." National Cooperative Highway Research Program Report 83, Eng. Research, Iowa State Univ. 1968